

(1)



①9 BUNDESREPUBLIK
DEUTSCHLAND



DEUTSCHES
PATENTAMT

⑫ Off nlegungsschrift
⑩ DE 42 07 368 A 1

⑤1 Int. Cl.5:
A 61 N 1/05
A 61 N 1/36

⑳ Aktenzeichen: P 42 07 368.5
㉔ Anmeldetag: 5. 3. 92
㉕ Offenlegungstag: 11. 2. 93

DE 42 07 368 A 1

③0 Innere Priorität: ③2 ③3 ③1
06.08.91 DE 41 26 362.6

㉚ Anmelder:
Biotronik Meß- und Therapiegeräte GmbH & Co
Ingenieurbüro Berlin, 1000 Berlin, DE

㉛ Vertreter:
Christiansen, H., Dipl.-Ing., Pat.-Anw., 1000 Berlin

㉚ Erfinder:
Bolz, Armin, Dr.; Schaldach, Max, Prof. Dr.-Ing., 8520
Erlangen, DE

⑤4 Stimulationselektrode

⑤7 Stimulationselektrode, insbesondere aus Titan, mit einer porösen Oberflächenbeschichtung deren aktive Oberfläche größer ist als die sich aus der geometrischen Form der Elektrode ergebende Oberfläche, wobei die aktive Oberfläche durch eine, insbesondere fraktale, räumliche Geometrie um einen Faktor von mindestens tausend größer ist als die sich aus der geometrischen Form der Elektrode ergebende Oberfläche und die Oberflächenbeschichtung aus einem inerten Material besteht.

DE 42 07 368 A 1

Beschreibung

Die Erfindung betrifft eine Stimulationselektrode der im Oberbegriff des Anspruchs 1 angegebenen Art.

Aus elektrischer Sicht läßt sich die Phasengrenze zwischen einem Festkörper, also zwischen der Stimulationselektrode eines Herzschrittmachers und einem Elektrolyten vereinfacht als Parallelschaltung der Phasengrenz- d. h. der Helmholtzkapazität C_H und des Faradaywiderstandes R_F beschreiben, dem der Leitungswiderstand R_L in Serie geschaltet ist. Damit ist die Impedanz des Elektrodensystems Z_{DL} von der Frequenz ω der angelegten Spannung nach folgender Gleichung abhängig:

$$Z_{DL} = R_L + \left(\frac{1}{R_F} + \omega^2 C_H^2 \right)^{-1/2} \quad (1)$$

Für die Erregung des Herzmuskels ist eine bestimmte Ladung Q erforderlich, die sich aus dem Integral des Stimulationsstromes $I(t)$ über die Pulsbreite T berechnen läßt. Daraus folgt, daß man durch eine Minimierung der Impedanz des Elektrodensystems Z_{DL} die für die Erregung des Herzens erforderliche Energiemenge

$$E \approx \int_0^T U(t) I(t) dt$$

ebenfalls minimieren kann. Da der Leitungswiderstand R_L konstant ist, der Faradaywiderstand R_F mit folgender Gleichung

$$R_F = \frac{R_o}{A} \quad (2)$$

definiert wird, wobei R_o ein konstanter Überleitungswiderstand und A die aktive Oberfläche ist, und die Helmholtzkapazität C_H wie folgt definiert wird:

$$C_H = \epsilon \cdot \epsilon_0 \frac{A}{d}, \quad (3)$$

wobei ϵ die Dielektrizitätskonstante der angelagerten Wasserdipole, ϵ_0 die Dielektrizitätskonstante des Vakuums und d die Dicke der Helmholtzschicht ist, führt die Vergrößerung der aktiven Oberfläche der Elektrode gemäß (3) zur Vergrößerung der Helmholtzkapazität C_H und gemäß (2) zur Verminderung des Faradaywiderstandes R_F . Beide haben dann gemäß (1) eine Verringerung der Impedanz Z_{DL} und der erforderlichen Energiemenge E zur Folge. Die aktive Oberfläche A ist dabei insbesondere durch die Vergrößerung der Elektrode und/oder durch eine Strukturierung der Elektrodenoberfläche veränderbar.

Aus EP-A-01 17 972, EP-A-01 16 280 und EP-A-01 15 778 sind bereits Stimulationselektroden bekannt, deren elektrochemisch aktiven Oberflächen mittels einer porösen Schicht aus einem Carbid, Nitrid oder Carbonitrid wenigstens eines der Metalle Titan, Vanadium, Zirkon, Niob, Molybdän, Hafnium, Tantal oder Wolfram vergrößert sind.

Nachteilig bei diesen bekannten porösen Elektrodenbeschichtungen ist aber, daß die Gesamtkapazität der implantierten Elektroden sich mit der Zeit langsam ver-

ringert und zu einer entsprechenden Erhöhung der erforderlichen Energiemenge führt. Damit muß die Stimulationsspannung relativ hoch gewählt werden, um mit der Impulsenergie die Reizschwelle der Patienten auch langfristig zu übertreffen. Zur Abgabe der erhöhten Energie ist aber eine Erhöhung der Spannung der Impulse notwendig, woraus wiederum eine Vergrößerung der Energiequellen — und damit eine Vergrößerung des Gehäuses — bei implantierbaren Systemen — resultiert. Mit der Erhöhung der Impulsenergie erhöht sich auch die Polarisationsspannung, so daß auch die üblicherweise verwendeten Gegenimpulse bei zur Vermeidung der Auswirkungen der Polarisationsspannung auf den Eingangsverstärker des Schrittmachers nach erfolgter Stimulation entsprechend vergrößert werden müssen.

Der Erfindung liegt die Aufgabe zugrunde, eine Stimulationselektrode der eingangs genannten Gattung derart zu verbessern, daß zum einen die erforderliche Energie zur Stimulation auch langfristig niedrig bleiben kann und daß zum anderen eine sichere Effektivitätserkennung mit einfachen Maßnahmen gewährleistet ist.

Diese Aufgabe wird mit den kennzeichnenden Merkmalen des Anspruchs 1 gelöst.

Die Erfindung beruht auf der Erkenntnis, daß die Werkstoffe der bekannten Elektroden und insbesondere Titan, Vanadium, Zirkon und Niob zu teilweise extremer Oxidation neigen und daß diese hohe Oxidationsneigung bei Kontakt zu wäßrigen Elektrolyten dazu führt, daß sich an der Elektrodenoberfläche eine dünne, isolierende bzw. halbleitende Oxidschicht bildet, die eine der Helmholtzkapazität C_H in Serie geschaltete Kapazität C_{ox} darstellt und so zur langsamen Verringerung der Gesamtkapazität und damit zur entsprechenden Erhöhung der jeweils erforderlichen Stimulationsenergie führt. Bei anodischer Polung werden OH^- -Ionen in den Festkörper gezogen und führen dort zur Vergrößerung der Oxidschichtdicke führen. Dies hat eine weitere Verringerung der Phasengrenzkapazität und damit eine weitere Erhöhung der Elektrodenimpedanz zur Folge. Die anodischen Pulse, die bei der Effektivitätserkennung bei dem üblichen Ladungsintegrationsverfahren als aktive Gegenpulse erforderlich sind, bewirken daher, daß die Effektivitätserkennung mit den bekannten Elektroden nicht oder nur bei einer erhöhten Energiemenge durchführbar ist.

Eine anodische Polung tritt aber nicht nur bei aktiven Gegenimpulsen zur Effektivitätserkennung auf, sondern auch bei anodisch gepolter Elektrode in multipolaren Schrittmachersystemen oder bei der Impedanzmessung im Herzen. Sie kann darüber hinaus auch durch Überschwinger der Stimulationsimpulse hervorgerufen werden.

Damit ist den herkömmlichen beschichteten porösen Elektroden wegen ihrer großen relativen Oberfläche zunächst eine grundsätzlich eine Stimulation mit gutem Erfolg bei niedriger Energie möglich. Es wurde nun erkannt, daß durch die Oxidationsneigung die Helmholtzkapazität verkleinert wird, was zu einer Erhöhung der Elektrodenimpedanz führt. Die damit hervorgerufene Beeinflussung der Elektroden Eigenschaften im Laufe der Implantationszeit ist deshalb so schwerwiegend, weil die Verschlechterung der Elektroden Eigenschaften Auswirkungen hat, welche ihrerseits dazu beitragen, daß die Stimulationseigenschaften zusätzlich ungünstig beeinflusst werden. So ist bei einer sich verschlechternden Elektrode eine höhere Impulsenergie notwendig, so daß zur Effektivitätserkennung auch ein Gegenimpuls mit größerer Energie notwendig ist, der seinerseits wie-

anodische Polung

der zur Verschlechterung der Elektrodeneigenschaften beiträgt. Da die Impulsenergie und die zur Effektivitätserkennung notwendigen Gegenimpulse auf Werte eingestellt sind, welche über die gesamte Implantationsdauer des Schrittmachers Gültigkeit haben müssen, beruht die Verschlechterung der Betriebsbedingungen, im Endeffekt im wesentlichen auf Maßnahmen, welche den verschlechterten Betriebsbedingungen eigentlich entgegenwirken sollen.

Die langzeitstabile, bioverträgliche Oberflächenbeschichtung der erfindungsgemäßen Stimulationselektrode besteht aus einem Material dessen Oxidationsneigung sehr gering ist, wobei sie vorzugsweise unter Verwendung eines inerten Materials, also eines Nitrides, Carbides, Carbonitrides oder aber eines reinen Elementes bzw. bestimmter Legierungen aus der Gruppe Gold, Silber, Platin, Iridium oder Kohlenstoff vakuumtechnisch auf die Elektrode aufgetragen wird. Wegen der fraktalen räumlichen Geometrie einer derart aufgetragenen Oberflächenschicht ist deren aktive Oberfläche sehr groß, so daß die zur Stimulation erforderliche Energiemenge gering gehalten werden kann.

Das Nachpotential einer Stimulationselektrode aus Titan, die mittels der reaktiven Kathodenzerstäubung eine gesputterte Iridiumschicht aufweist, ist bis um das sechsfache (von ca. 600 auf ca. 100 mV) kleiner als das Nachpotential einer blanken Stimulationselektrode aus Titan. Wegen dieser signifikanten Verringerung des Nachpotentials ist die Erkennung des intrakardialen EKGs nicht nur auf herkömmliche Weise mit einem Verstärker und einer Triggereinrichtung möglich, sondern es kann eine funktionsfähige Effektivitätserkennung angewandt werden, die ohne Gegenimpuls auskommt.

Durch die Verringerung der erforderlichen Stimulationsenergie über die Lebensdauer des Implantats kann auf sonst erforderliche Reserven verzichtet und in vorteilhafter Weise die Betriebszeit des Implantates entscheidend vergrößert bzw. die Gehäusegröße entscheidend verkleinert werden.

Zur erfolgreichen Stimulation ist eine bestimmte Ladung Q erforderlich. Der dazu notwendige Strom lädt auch die Helmholtzkapazität C_H auf, weshalb nach dem Stimulus eine Spannung, das sogenannte Nachpotential, über dem Kondensator meßbar ist. Da bei konstanter Ladung die an einem Kondensator abfallende Spannung invers proportional zur Kapazität ist, wird auch das Nachpotential durch eine hohe Helmholtzkapazität C_H , die durch die große aktive Oberfläche der erfindungsgemäßen Stimulationselektrode erzielt wird, herabgesetzt und seine zeitliche Änderung verringert. Da die inerte Oberflächenschicht der erfindungsgemäßen Stimulationselektrode keine bzw. nur eine sehr geringe Oxidationsneigung aufweist, kann — falls trotzdem unter bestimmten Bedingungen gewünscht — die Elektrode anodisch betrieben werden, ohne daß sich eine Oxidschicht bildet und/oder deren Schichtdicke d sich vergrößert, so daß die Helmholtzkapazität C_H stets auf einem hohen Wert gehalten werden kann, wobei das durch die Elektrode verursachte Nachpotential wie erwünscht gering gehalten wird und somit für die Optimierung des Stimationsverhaltens durch eine sichere Effektivitätserkennung gesorgt wird.

Eine weitere Verbesserung des Signal-Rausch-Verhältnisses gelingt durch die Bildung der ersten Ableitung des Zeitsignals, da gerade im Maximum eines kleinen scharfen Impulses sehr hohe Änderungen der Kurvensteigung auftreten. An einem beliebigen Punkt zwi-

schen Erregung und nachfolgendem Stimulus wird die Elektrodenspannung über ein Sample & Hold Glied festgehalten und auf den Eingangsdifferentiator gelegt. Direkt nach dem Stimulus wird wieder die Elektrodenspannung dem Differentiator zugeführt. In einem bestimmten Fenster kann dann das differenzierte Signal auf das Erscheinen eines EKGs hin untersucht werden, wobei der Abstand zwischen dem Zeitpunkt, an dem die Elektrodenspannung nach dem Stimulus dem Differentiator zugeführt wird und dem Fenster so groß sein muß, daß ein eventuelles Überspringen des Eingangsvorstärkers noch abklingen kann. (Eine derartige vorteilhafte Schaltung ist in einer getrennten, gleichzeitig eingereichten Anmeldung derselben Anmelderin beschrieben.)

Da das Frequenzspektrum der intrakardialen Signale eine Bandbreite bis etwa 50 Hz mit einem Maximum bei etwa 1 bis 5 Hz besitzt, läßt sich auch mit der Maximierung der Helmholtzkapazität C_H das Übertragungsverhalten, vor allem das der erheblichen niederfrequenten Anteile des Frequenzspektrums optimieren.

Weiterhin vorteilhaft bei der erfindungsgemäßen Stimulationselektrode ist, daß die Signalamplituden bei der Detektion vergrößert werden, da die detektierte Spannung in allen Frequenzbereichen von der Gesamtimpedanz des Elektrodensystems Z_S und der Phasengrenzimpedanz nach folgender Gleichung beruht (U_{EKG} entspricht dabei der im Herzen tatsächlich vorliegenden Spannung des intrakardialen EKGs):

$$U_{det} \approx U_{EKG} \left(\frac{Z_S - Z_{DL}}{Z_S} \right) \quad (4)$$

und durch die Maximierung der Helmholtzkapazität C_H die Impedanz des Elektrodensystems Z_{DL} minimiert wird.

Obwohl die Größe der aktiven Oberfläche durch eine einfache Vergrößerung der Elektrode zu verändern wäre, hat es sich herausgestellt, daß es vorteilhafter ist, die aktive Oberfläche im Verhältnis zur sich aus der geometrischen Form der Elektrode ergebenden Oberfläche zu maximieren, da eine lineare Vergrößerung auch nur eine näherungsweise oberflächenproportionale Erhöhung der zur Reizung erforderlichen Ladung Q zur Folge hat und daher keine Lösung darstellt. Diese Beobachtung erklärt sich durch den unterschiedlichen Einflußbereich der Stimulationselektroden; in einer verfeinerten Sprechweise müßte eigentlich von einer konstanten, für die Herzmuskelerregung erforderlichen Ladungsdichte gesprochen werden.

Die erfindungsgemäßen Oberflächenbeschichtungen aus den genannten Werkstoffen, und insbesondere aus Iridiumnitrid IrN, die mit Hilfe moderner Vakuumbeschichtungsverfahren wie Sputtern oder Ionenplattieren auf herkömmliche Elektroden aufgebracht werden, sorgen aufgrund ihrer fraktalen Geometrie für Oberflächenvergrößerungen um einen Faktor 1000 und mehr. Bei einer fraktalen Geometrie wird eine Anzahl eines Elements wiederholt aber verkleinert auf größeren Elementen mit annähernd gleicher Form aufgefunden. Eine derartige Formgebung läßt sich — mindestens angenähert — mit Verfahren der Dünnschichttechnologie bei entsprechender Einstellung der Verfahrensparameter erzielen.

Durch die Möglichkeit der anodischen Betriebsweise läßt sich die Elektrode in günstiger Weise auch für Betriebsweisen einsetzen, bei denen diese Polarität funk-

tionsn twendig ist, wie beispielsweise bei bi- oder multipolaren Elektroden oder intrakardialer Impedanzmessung.

Die erfindungsgemäße Elektrode ist in bevorzugter Weise auch für die Neurostimulation und generell für solche Stimulationszwecke geeignet, bei denen es nicht auf hohe Feldstärken, sondern auf eine geringe Impedanz und damit auf große lokale Ladungs- bzw. Stromdichte benachbart zu dem zu stimulierenden Organ bzw. den betreffenden Nervenleitbahnen ankommt.

Vorteilhafte Weiterbildungen der Erfindung sind in den Unteransprüchen gekennzeichnet bzw. werden nachstehend zusammen mit der Beschreibung der bevorzugten Ausführung der Erfindung anhand der Figuren näher dargestellt. Es zeigen:

Fig. 1 ein Ausführungsbeispiel einer erfindungsgemäßen Stimulationselektrode in schematischer Darstellung in Seitenansicht,

Fig. 2 eine vergrößerte Darstellung des Details II der Fig. 1 im Schnitt,

Fig. 3 ein Diagramm zum Vergleich der Impedanz des Ausführungsbeispiels der erfindungsgemäßen Elektrode mit aus dem Stand der Technik bekannten entsprechenden Elektroden gleicher geometrischer Abmessung,

Fig. 4 eine Darstellung zur fraktalen Oberflächengeometrie der erfindungsgemäßen Elektrode sowie

Fig. 5 ein Ausschnitt der Oberfläche der erfindungsgemäßen Elektrode in vergrößerter Darstellung.

Bei der in Fig. 1 in schematischer Seitansicht dargestellten Stimulationselektrode 1 handelt es sich um eine unipolare Noppenelektrode mit einem einen zylinderförmigen Grundkörper 2 aus Titan aufweisenden Kopf. Der zylinderförmige Grundkörper 2 weist erfindungsgemäß eine aus einem inerten Material Iridiumnitrid (IrN) bestehende Oberflächenbeschichtung 3 auf, die mittels Kathodenzerstäubung auf den zylinderförmigen Grundkörper 2 der Titanelektrode aufgebracht ist. Die Elektrode weist eine gewendelte, elektrisch leitende Zuleitung 4 auf, die mit einer elektrisch isolierenden Ummantelung 5 aus Silikon versehen ist. In der Zeichnung ist diese Silikonummantelung transparent wiedergegeben. An die Silikonummantelung angeformt sind nach rückwärts gerichtete flexible Befestigungselemente 6 und 7, welche zur Verankerung der Elektrode im Herzen dienen, wobei die Oberfläche des Grundkörpers in Kontakt mit der inneren Herzoberfläche gehalten wird.

Der Grundkörper 2 ist mittels eines hohlzylindrischen Ansatzes 8 über die Zuleitung 4 geschoben und dort befestigt, wobei dieser Ansatz in der Zeichnung geschnitten dargestellt ist.

In Fig. 2 ist ein Ausschnitt (Detail II in Fig. 1) der aktiven Oberfläche vergrößert wiedergegeben. Wie aus der Darstellung ersichtlich ist, wird durch die (unmaßstäblich vergrößerte) fraktale räumliche Geometrie der im mikroskopischen Bereich stengelartig gewachsenen Beschichtung 3 eine wesentliche Vergrößerung der aktiven Oberfläche erzielt. Die erzielte Oberflächenvergrößerung liegt im Bereich von mehr als 1000.

Aus Fig. 3, die den Verlauf der Impedanzen von Stimulationselektroden mit unterschiedlichen Oberflächenbeschichtungen im Vergleich zeigt, ist ersichtlich, daß eine mit Iridiumnitrid beschichtete Elektrode insbesondere im Bereich kleiner, für den Empfang von aus dem Herzen aufnehmenden Signalen besonders wichtigen niederfrequenten Bereich im Vergleich zu den aus dem Stand der Technik bekannten Elektrodenoberflächenmaterialien Titan bzw. Titannitrid die niedrigste

Phasengrenzimpedanz besitzt. Die ermittelten Unterschiede sind in ihren Auswirkungen deshalb besonders wesentlich, da die Amplitude des aufgen mmenen Signals quadratisch mit dem Innenwiderstand der Signalquelle zusammenhängt.

Andere Ausführungsformen, von Schrittmacherelektroden, bei denen ein anodischer Betrieb betriebsmäßig gewollt ist, sind in den Zeichnungen nicht näher dargestellt. Sie zeichnen sich aus durch eine gegenüber vergleichbaren bekannten Elektroden verkleinerte Oberfläche, da auch hier auf gewisse Flächenreserven verzichtet werden kann, welche bei den bekannten Elektroden für den Fall der Impedanzvergrößerung im Betrieb vorgesehen sein mußten. Bei bi- oder multipolaren Elektroden sind im gegenüber dem Elektrodenkopf zurückliegenden Teil ringförmige Bereiche vorgesehen, die mit separaten galvanischen Verbindungen zum anschlußseitigen Ende versehen sind. Hiermit kann dann entweder eine bipolare Stimulation oder aber eine intrakardiale Impedanzmessung zur Erfassung der Herzaktivität erfolgen.

Im Falle der Verwendung des Herzschrittmachergehäuses ist ein in Richtung zur Körperoberfläche gelegener Bereich des Gehäuses mit der erfindungsgemäßen Beschichtung versehen, während der übrige Teil des Gehäuses mit einer isolierenden Ummantelung versehen ist, die bevorzugt aus Silikon-Kautschuk besteht.

Aus der Darstellung in den Fig. 4a bis c ist ersichtlich, wie die in Fig. 4a dargestellte Grundform eines halbkreisförmigen Querschnittes überlagert wird von einer entsprechenden maßstäblich verkleinerten geometrischen Form. Die verkleinerten Formelemente lagern sich dabei jeweils an der Oberfläche der nächst größeren Grundform an. Die nächste Stufe der Überlagerungen ist dabei in Fig. 4c wiedergegeben. Die vereinfachte Darstellung in diesen Figuren dient lediglich der Veranschaulichung der grundsätzlichen geometrischen Verhältnisse. Bei der praktischen Herstellung können sich die Grundformen räumlich weiteren Stufen überlagern.

Die elektronenmikroskopisch vergrößerte Darstellung gemäß Fig. 5 zeigt die Oberfläche einer erfindungsgemäßen Elektrode, die ein blumenkohlartiges Äußeres zeigt. Die Struktur ist zwar unregelmäßig geformt, folgt aber den dargestellten fraktalen Gesetzmäßigkeiten. Durch die sich nach außen hin stets verfeinernde Struktur ist eine mikroskopische Oberfläche erzielbar, die flächenmäßig um ein Vielfaches größer ist als der zugehörige makroskopische Flächenbereich.

Die Erfindung beschränkt sich in ihrer Ausführung nicht auf das vorstehend angegebene bevorzugte Ausführungsbeispiel. Vielmehr ist eine Anzahl von Varianten denkbar, welche von der dargestellten Lösung auch bei grundsätzlich anders gearteten Ausführungen Gebrauch macht.

Patentansprüche

1. Stimulationselektrode mit einer porösen Oberflächenbeschichtung deren aktive Oberfläche wesentlich größer ist als die sich aus der geometrischen Grundform der Elektrode ergebende Oberfläche, dadurch gekennzeichnet daß die Oberflächenbeschichtung aus einem inerten Material, d. h. einem Material ohne bzw. mit einer nur sehr geringen Oxidationsneigung besteht, wobei das Material der Oberflächenbeschichtung aus einem inertem Element, einer inerten chemischen Verbindung und/oder einer inerten Legierung gebildet ist.

2. Stimulationselektrode nach Anspruch 1, dadurch gekennzeichnet, daß die aktive Oberfläche durch eine, insbesondere fraktale, räumliche Geometrie um einen Faktor von mindestens tausend größer ist als die sich aus der geometrischen Grundform der Elektrode ergebende Oberfläche. 5
3. Stimulationselektrode nach einem der vorangehenden Ansprüche, dadurch gekennzeichnet, daß als inertes Material ein Nitrid, Carbid oder Carbonnitrid oder aber ein reines Element bzw. eine Legierung aus der Gruppe Gold, Silber, Iridium, Platin oder Kohlenstoff vorgesehen ist. 10
4. Stimulationselektrode nach einem der vorangehenden Ansprüche, dadurch gekennzeichnet, daß die Oberflächenbeschichtung mittels Dünnschichttechnologie auf die Elektrode aufgebracht ist. 15
5. Stimulationselektrode nach Anspruch 4, dadurch gekennzeichnet, daß die Oberflächenbeschichtung mittels reaktiver Kathodenzerstäubung oder Ionenplattierung auf die Elektrode aufgebracht ist. 20
6. Stimulationselektrode nach einem der vorangehenden Ansprüche, dadurch gekennzeichnet, daß der Grundkörper aus Titan besteht.
7. Stimulationselektrode nach einem der vorangehenden Ansprüche, dadurch gekennzeichnet, daß die Elektrode anodisch betrieben ist. 25
8. Stimulationselektrode nach Anspruch 7, dadurch gekennzeichnet, daß die anodisch betriebene Elektrode die Referenzelektrode in einem bipolaren System oder eine Elektrode eines Systems bildet, welches eine Impedanzmessung im Herzen vornimmt. 30
9. Stimulationselektrode nach Anspruch 8, dadurch gekennzeichnet, daß die Elektrode die aktive Oberfläche eines Herzschrittmachergehäuses bildet.
10. Stimulationselektrode nach einem der vorangehenden Ansprüche, gekennzeichnet durch die Anwendung als Herzschrittmacher- oder Neurostimulationselektrode. 35

Hierzu 4 Seite(n) Zeichnungen

40

45

50

55

60

65

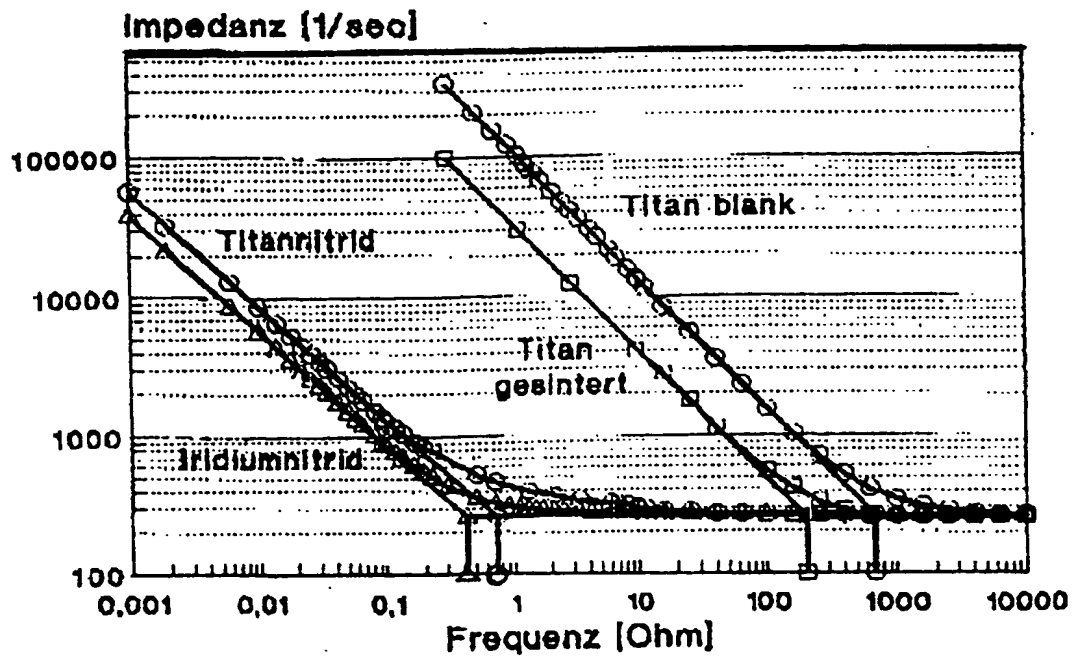


Fig. 3



Fig. 4a



Fig. 4b

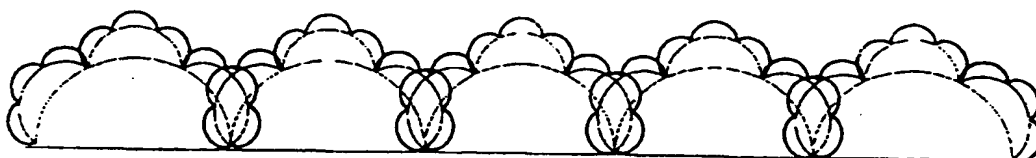
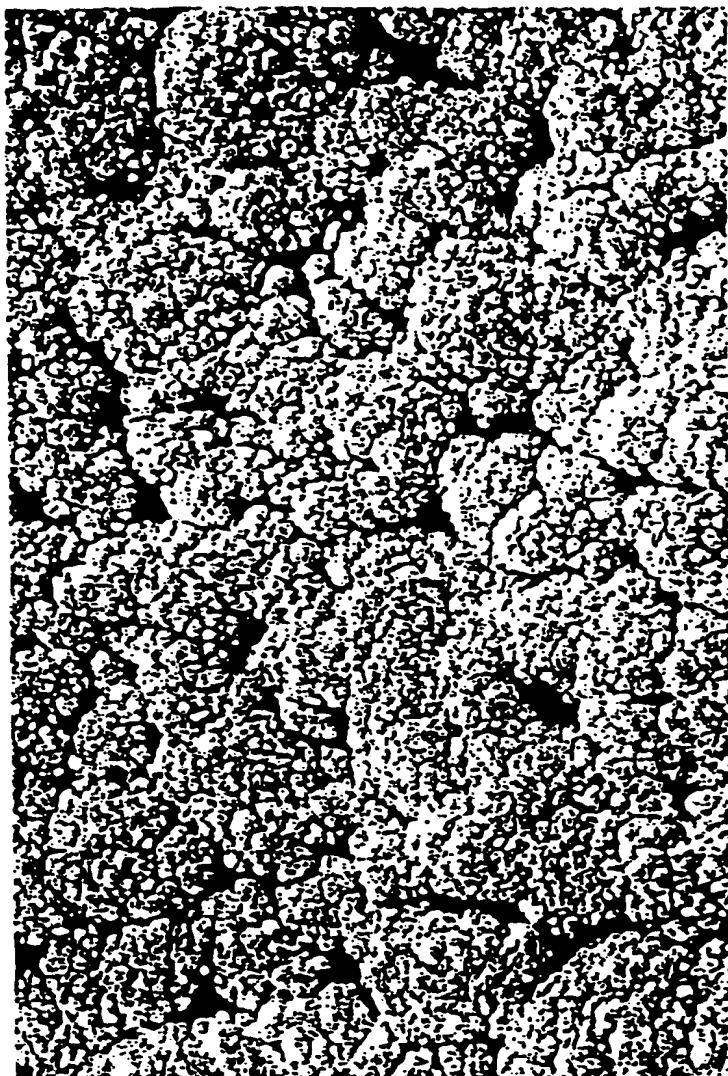


Fig. 4c



10.0µm

Fig. 5